



# دومین کنگره ملی مهندسی ساخت و ارزیابی بیوژنیک عمارت

سمنان - ۷ خرداد ماه ۱۴۰۲

پیوست: ندارد

شماره: ۹۳/۱۰۴۱۱ تاریخ: ۹۴/۰۲/۲۳

## موضوع: گواهی پذیرش مقاله در کنگره

بدینوسیله گواهی و تأیید می گردد مقاله تحت عنوان

" تاثیر تغییرات نفوذپذیری مصالح هسته همزمان

با تحکیم در عملکرد کلی سد مسجد سلیمان"

تهیه و ارائه شده توسط جناب آقای / سرکار خانم

" مرتضی سالاری ، علی اخترپور "

مطابق با اعلام نظر داوران منتخب کمیته علمی در "دومین کنگره ملی مهندسی ساخت و

ارزیابی پروژه های عمرانی" مورد پذیرش واقع گردیده است.

همون جانفشن

دیپر علمی کنگره



شوه علی مهندسی ساخت و  
ارهای بروزه های عمرانی

MODIR.IR

برگزاری کنفرانس

Symposia

برگزاری کنفرانس

CIVILICA

ایمن چندین عمران ایران

ALL CONFERENCES IR

ایران کنفرانس

همایش

پاپلی

شرکت های مهندسی

اسناد

شرکت های مهندسی

اسناد

استادیاری سستان

اداره کل راه و شهری

اداره کل مسکن و شهرسازی

اداره کل راه و شهرسازی

سازمان اطلاع پهلوی

سازمان اطلاع پهلوی

سازمان اطلاع پهلوی

سازمان اسلامی

شورایی کرکل

اداره کل بناء مسکن

اداره کل بناء مسکن

اداره کل بناء مسکن

اداره کل توسعه و  
تحییف مدارس اسلام سستان

اداره کل توسعه و  
تحییف مدارس اسلام سستان

دانشگاه اسلام



## تأثیر تغییرات نفوذپذیری مصالح هسته همزمان با تحکیم در عملکرد کلی سد مسجد سلیمان

مرتضی سالاری<sup>۱</sup>، علی اخترپور<sup>۲</sup>

- ۱- کارشناسی ارشد عمران- مکانیک خاک و پی، دانشگاه فردوسی مشهد
- ۲- استادیار گروه عمران دانشکده مهندسی دانشگاه فردوسی مشهد

*m.salari04@gmail.com*

### چکیده

سد مسجد سلیمان سدی سنگریزه ای با هسته مخلوط گراولی رسی به ارتفاع ۱۷۷ متر می باشد که در جنوب غرب ایران روی رودخانه کارون احداث شده است. ایجاد و توسعه فشار حفره ای در هسته سد در دوران خاکریزی در مقایسه با سد های مشابه بسیار قابل توجه بوده است. علاوه بر این بعد از گذر حدود ۱۴ سال از انتهای ساخت سد، افت فشار حفره ای و در نتیجه نشت های تحکیمی هسته ناجیز می باشد. با این وجود تغییر شکل های بزرگ و پیش روندهای در سد بوضوح قابل مشاهده است. این رفتار تغییر شکلی غیر معمول چالشی مهم پیش روی قضاؤت صحیح در باب رفتار سد قرار داده است. افت فشار حفره ای رابطه مستقیم با میزان نفوذپذیری دارد لذا تخمین صحیح میزان این کمیت می تواند نقشی کلیدی در تعیین مکانیزم کلی رفتار سد داشته باشد. در این مقاله ابتدا از طریق محاسبات آماری روی داده های حاصل آزمایش های انجام شده، تابعی نمایی اولیه ای برای تغییرات داده های فشار حفره ای رکوردداره ای هسته، این تابع نیز کالیبره شده است. نتایج مطالعه نشان می دهد علل اصلی برآورد پایین دست ایجاد، توسعه و افت فشار حفره ای در هسته سد، تخمین بالادست کمیت نفوذپذیری، در نظر نگرفتن روند کاهشی آن توام با تحکیم و عدم انجام اقدام اجرایی مناسب در دوران ساخت می باشند.

**واژه های کلیدی:** سدهای سنگریزه ای، تابع نفوذپذیری، فشار حفره ای، تحلیل بازگشتی



## ۱- مقدمه

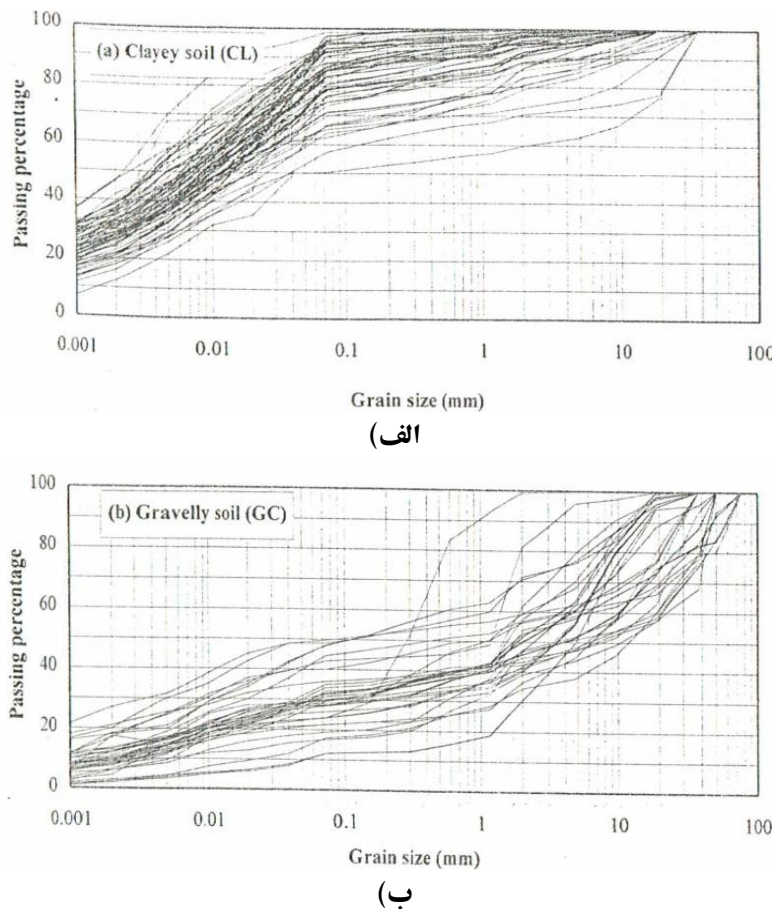
سیال موجود در فضای بین حفرات بخش نفوذناپذیر و اشباع سدهای خاکی همگام با خاکریزی در اثر بارگزاری ناشی از وزن مصالح بالایی تحت فشار قرار می‌گیرد ولذا فشار حفره‌ای در آن نواحی توسعه می‌یابد. اضافه فشار آب موجود می‌تواند موجب کاهش ایمنی و پایداری سد گردد بر این اساس این موضوع از سال ۱۹۵۴ مورد توجه طراحان و محققان قرار گرفته است [1] کمیت فشار سیال حفره‌ای در خاکریزها عموماً با نصب ابزارهایی نظری پیزومترهای التکریکی، لوله‌های کاساگرانده و.. اندازه‌گیری می‌شود [2]. سد مسجد سلیمان یک سد سنگریزه‌ای با هسته مخلوط نفوذناپذیر، اشباع و نسبتاً ضخیم می‌باشد که در جنوب غرب ایران روی رودخانه کارون احداث شده است. ارتفاع سد ۱۷۷ متر، طول تاج ۴۹۷ متر و عرض تاج ۱۵ متر می‌باشد. طبق توصیه کمیته بین‌المللی سدهای بزرگ [3] برای کنترل ایمنی مناسب سد در دوران ساخت و بهره‌برداری، سیستمی ابزارگذاری برای این سد طراحی و اجرا شده است. تحلیل و بررسی (رفتارنگاری) داده‌های حاصله از پیزومترهای موجود در هسته نشان می‌دهد میزان فشار حفره‌ای قابل توجهی در دوران ساخت در هسته ایجاد شده و روند افت آن در دوران بعد از ساخت بسیار ناچیز می‌باشد بگونه‌ای که بعد از حدود ۱۴ سال از انتهای ساخت حدود ۱۰-۲۰ درصد افت نشان می‌دهند. در حالی که در همین دوران میزان ۴/۸۱ متر (۲/۷ درصد ارتفاع سد) نشست در تاج سد ثبت شده است و روند تغییرات آن در حال حاضر ۰/۴۸ میلی متر بر روز می‌باشد [4]. این ناهمانه‌نگی موجود یعنی تحکیم ناچیز هسته (افت ناچیز فشار حفره‌ای) از یکسو و از سوی دیگر نشسته‌ای قابل توجه و پیش‌روند سد چالشی پیش روی ارزیابی صحیح عملکرد این سد است. مطالعات نشان می‌دهند اصلی‌ترین عوامل موثر در میزان توسعه و افت فشار حفره‌ای در خاکها نوع خاک، میزان نفوذپذیری، درصد تراکم، درصد اشباع شدگی، وضعیت هندسی مقطع و فاصله هر نقطه تا سطوح زهکشی می‌باشند [5] بنابراین تعیین دقیق نفوذپذیری به عنوان یک عامل موثر در توسعه و افت فشار حفره‌ای هسته می‌تواند دریچه‌ای بسوی رفع این چالش در رفتار سد بگشاید. در ژئوتکنیک تعیین مقدار معتبری برای پارامتر نفوذپذیری در مصالح ریزدانه با نفوذپذیری کمتر از  $10^{-7}$  سانتی متر بر ثانیه همواره با دشواری‌های اساسی می‌باشد، این دشواری‌ها از طبیعت نفوذپذیری خاک‌های ریزدانه که بستگی به ترکیب کانی‌شناسی، ساختار دانه‌ای، اشباع شدگی اولیه، ترکیب شیمیایی مایع تراوشی، گرادیان هیدرولیکی یا شرایط زهکشی این مصالح دارد ناشی می‌شوند [6-7]. وابسته به ظرفیت تحقیق و کاربردهای مورد انتظار از مصالح، روش‌های متنوعی می‌تواند برای تعیین نفوذپذیری استفاده شود، آنها عموماً می‌توانند به روش‌های برجه، آزمایشگاهی و مدل‌های ریاضی تقسیم شوند. در این مقاله سعی شده است با محاسبات آماری روی نتایج آزمایش‌های آزمایشگاهی و همچنین تهیه مدل تحلیلی عددی کالیبره شده براساس نتایج پیزومترهای نصب شده در هسته، تغییرات کمیت نفوذپذیری مصالح هسته سد مسجد سلیمان همگام با تحکیم تعیین شود و در نهایت بر اساس روند تغییرات این تابع، علل اصلی ایجاد و توسعه قابل توجه فشار آب حفره‌ای هسته در دوران ساخت و افت ناچیز آن در دوران بهره‌برداری شناسایی گردند.

## ۲- مطالعات منابع قرضه

در مرحله شناسایی منابع قرضه این سد، منبع قرضه سیمیند برای هسته سد مناسب تشخیص داده شده است. این منبع دارای افق‌های تناوبی نامنظمی از لایه‌های رسی (CL) و لایه‌های گراولی (GC) می‌باشد. پوش دانه بندی مصالح افق‌های رسی و گراولی این منبع در شکل ۱ نشان داده شده است. با توجه به تناوب نامنظم این افق‌ها امکان جداسازی آن‌ها وجود نداشته است لذا هسته رسی سد مسجد سلیمان مخلوطی از مصالح رسی و گراولی می‌باشد. با توجه به تغییرات درصد مصالح درشت دانه و

# دومین کنگره ملی مهندسي ساخت و ازدياد بيوپاکت هاي سمنان - ۷ خردادماه ۱۴۰۲

ریزدانه در مصالح هسته، برای تعیین مشخصات مکانیکی و جریان آن، نمونه هایی با سه ترکیب اختلاط(GC:CL) که عبارتند از M1(۴۰:۶۰)، M2(۶۰:۴۰) و M3(۸۰:۲۰) مورد آزمایش قرار می گیرند. از سوی دیگر به علت تاثیر درصد رطوبت روی مشخصات مصالح، هریک از این نمونه ها با درصد های مختلف نسبت به رطوبت بهینه مورد آزمایش قرار گرفته اند. در این میان، نفوذپذیری مصالح هسته به دو شیوه ۱- مستقیم با کمک آزمایش مرسوم نفوذپذیری مصالح ریزدانه (بار افتان) و ۲- غیر مستقیم با کمک آزمایش تحکیم تعیین گردیده است [8] از روش مستقیم مقدار نفوذپذیری از مرتبه  $10^{-6}$  تا  $10^{-7}$  سانتی متر بر ثانیه و از روش غیر مستقیم از مرتبه  $10^{-8}$  تا  $10^{-7}$  سانتی متر بر ثانیه بدست آمده است. نسبت نفوذپذیری افقی به قائم بدون انجام آزمایش به شیوه تحریبی  $10^{-6}$  در نظر گرفته شده است. با توجه به اختلاف ده برابری این آزمایش ها، در جهت اطمینان در مرحله طراحی برای محاسبات تنش-کرنش و شبیه سازی پدیده تحکیم، نفوذپذیری از مرتبه  $10^{-8}$  تا  $10^{-7}$  سانتی متر بر ثانیه و در محاسبات تراوش از مرتبه  $10^{-6}$  سانتی متر بر ثانیه در نظر گرفته شده است [9].



شکل (۱) پوش دانه‌بندی (الف) لایه‌های رسی (CL) و (ب) گروالی (GC) معدن قرضه سیمیند [9]

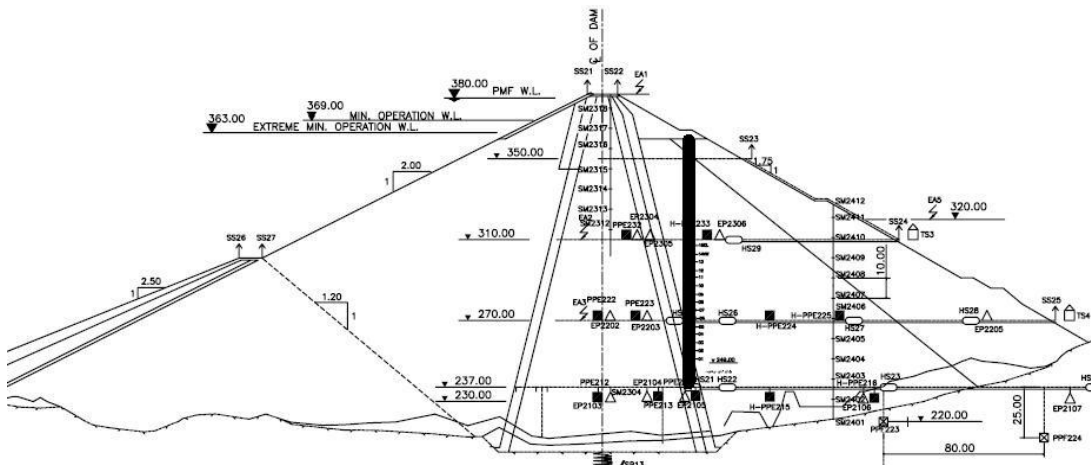
### ۳- توزیع فشار حفره‌ای در هسته سد

برای کنترل ایمنی سد مسجد سلیمان سیستمی ابزار گذاری برای این سد طراحی و اجرا شده است. در این سیستم در چهار مقطع عرضی به ترتیب در کیلومترهای ۱۶۰، ۲۶۰، ۳۶۰ و ۴۲۰ (نسبت به انتهای جناح چپ سد) ابزار گذاری شده است. به علت تغییر شکل های قابل ملاحظه هسته و بدنه سد، در دوره زمانی اواخر خاکریزی سد (۵۰ متر انتها بی) تا اوایل اولین آبگیری تعداد

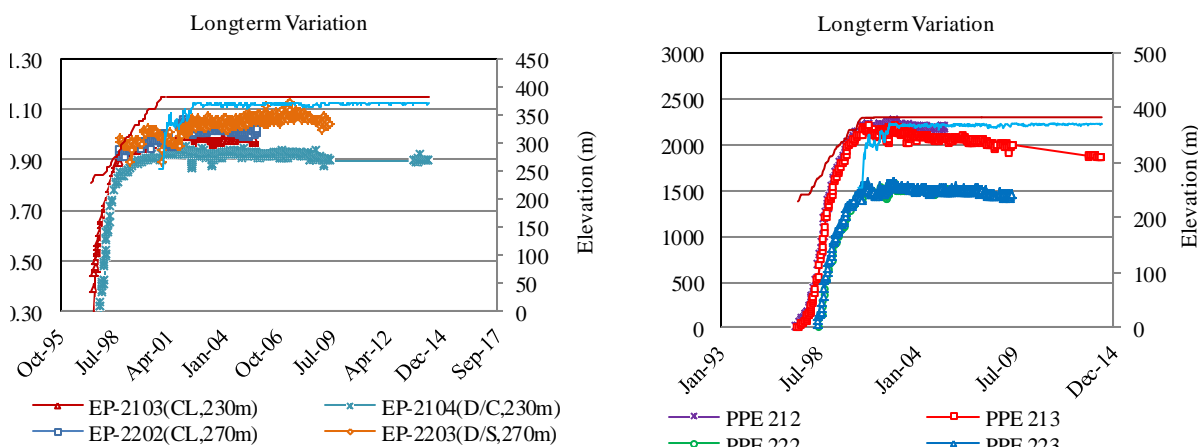


# ۲مین کنگره ملی ماده ساخت و ارزیابی پژوهشی سمنان - ۷ خردادماه ۱۳۹۴

قابل توجهی از ابزارها خصوصاً کلیه ابزارهای تنش کل و فشار آب حفره‌ای نصب شده در وجه بالا دست هسته و صفحات نشست سنج در ۱۰۰ متر پایینی هسته معیوب یا فاقد داده شده‌اند. توزیع ابزارهایی که در حال حاضر دارای داده معقول می‌باشند برای مقطع حداکثر سد (کیلومتر ۲۶۰) در شکل ۲ نشان داده شده است. در این مقطع، در داخل هسته تعدادی کلاستر ابزار شامل سلول‌های تنش کل و همچنین پیزومترها الکتریکی در ترازهای ۲۵ +۲۳۰ تری از کف هسته، ۲۷۰ +۳۱۰ و ۴۵ درجه نسبت به افق و رو به بالا دست و پایین دست سد شده‌اند. کلاسترها سلول‌های سنج دارای دو سلول تنش با زاویه ۴۵ درجه نسبت به افق و رو به بالا دست و پایین دست سد و یک سلول افقی است. در هر کلاستر یک پیزومتر الکتریکی برای اندازه گیری فشار حفره‌ای نصب شده است [۴]. نسبت فشار آب حفره‌ای واقعی نسبتی است که حاصل تقسیم فشار آب حفره‌ای بدست آمده از پیزومتر بر مقدار تنش کل قائم بدست آمده از سلول تنش کل در یک کلاستر می‌باشد. تغییرات فشار آب حفره‌ای اندازه گیری شده و همچنین نسبت فشار آب حفره‌ای واقعی در مقطع اصلی سد در اشکال ۳ و ۴ نمایش داده شده است. با توجه به تغییرات این کمیت‌ها ملاحظه می‌شود اولاً میزان ایجاد و توسعه فشار حفره‌ای هسته در دوران ساخت قابل توجه بوده (نسبت فشار حفره‌ای واقعی در محدوده ۰/۸ تا ۱/۱ در این مقطع متغیر است) و ثانیاً بعد از گذشت حدود ۱۴ سال از زمان پایان ساخت نسبت فشار حفره‌ای واقعی حداکثر به میزان ناچیز ۰-۲۰ درصد کاهش یافته است. علارغم وضعیت موجود طبق معیارهای طراحی انتظار می‌رفت میزان فشار حفره‌ای به میزان قابل توجهی کاهش یابد.



شکل (۲) آرایش ابزار گذاری مقطع حداکثر (۲۶۰) سد مسجد سلیمان [۴].



شکل (۴) نسبت فشار آب حفره‌ای واقعی مقطع حداکثر

شکل (۳) تغییرات فشار آب حفره‌ای مقطع حداکثر

#### ۴- تابع اولیه تغییرات نفوذپذیری قائم مصالح هسته

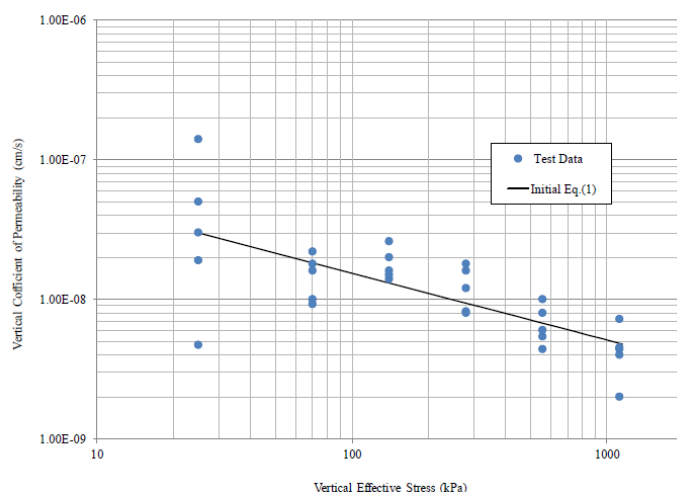
همانطور که در بالا گفته شد برای محاسبات تنش-کرنش، نفوذپذیری مصالح هسته سد با استفاده از نتایج آزمایش های تحکیم بدست آمده است. جدول ۲ نتایج این آزمایش ها را نشان می دهد. نتایج آزمایش های کنترل کیفیت تراکم و رکوردهای پیزومتری هسته خصوصا در همان مراحل اولیه (نگاه کنید به شکل ۳) حکایت از این دارد که در حین اجرا مصالح هسته با رطوبت نزدیک به حالت اشباع اجرا شده اند. لذا برای تعیین تابع اولیه تغییرات نفوذپذیری از نتایج آزمایش هایی که در شرایط اولیه اشباع ۹۰ درصد به بالا هستند، استفاده شده است. شکل ۵ تغییرات این داده ها را در مقابل تنش موثر قائم به همراه بهترین خط برآش یافته بر آنها را در فضای لگاریتمی نشان می دهد. همچنین رابطه ۱ تابع نمایی اولیه معرف این خط برآش یافته بین نفوذپذیری قائم و تنش موثر قائم می باشد.

$$K_y = 1.4 \times 10^{-7} \sigma_y^{-0.479} \quad (1)$$

در رابطه فوق  $K_y$  نفوذپذیری قائم بر حسب سانتی متر بر ثانیه و  $\sigma$  تنش موثر قائم بر حسب کیلو پاسکال است.

جدو(۱) مقادیر نفوذپذیری بدست آمده از آزمایشات تحکیم مصالح هسته [داده ها برگرفته از منبع ۹]

Sample Index	M1			M2			M3		
Wopt(%)	13			10			9.3		
Moisture	Wopt-2	Wopt	Wopt+2	Wopt-2	Wopt	Wopt+2	Wopt-2	Wopt	Wopt+2
Saturation (%)									
	70	90	95	60	83	90	70	90	95
Permeability (cm/s)									
0.25	7.00E-09	4.70E-09	1.90E-08	-	1.80E-08	5.00E-08	3.25E-08	3.00E-08	1.40E-07
0.7	9.00E-09	9.20E-09	1.00E-08	3.00E-08	1.50E-08	1.60E-08	-	1.80E-08	2.20E-08
1.4	8.00E-09	1.40E-08	1.60E-08	1.40E-08	2.20E-08	2.60E-08	1.50E-08	1.50E-08	2.00E-08
2.8	6.80E-09	8.20E-09	1.20E-08	-	1.50E-08	1.60E-08	-	8.00E-09	1.80E-08
5.6	4.50E-09	4.40E-09	8.00E-09	7.00E-08	4.50E-09	5.40E-09	7.00E-09	6.00E-09	1.00E-08
11.2	-	4.40E-09	4.00E-09	9.00E-09	6.00E-09	7.20E-09	5.00E-09	2.00E-09	4.50E-09



شکل (۵) تغییرات لگاریتمی نفوذپذیری در مقابل تنش موثر قائم برای مصالح هسته سد مسجد سلیمان

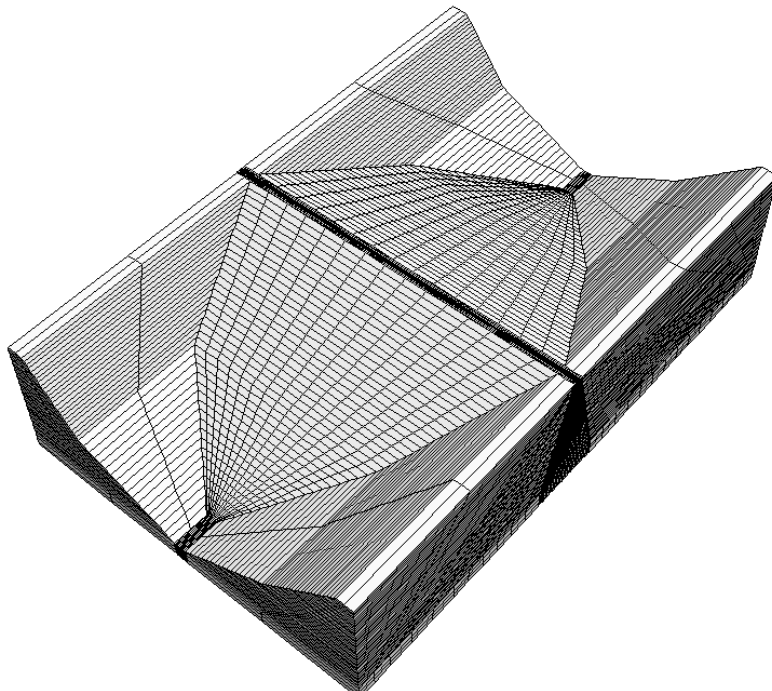


## ۵- مدل عددی کالیبره شده

برای تدقیق رابطه (۱) و همچنین تعیین نسبت واقعی نفوذپذیری افقی به قائم هسته، یک مدل تحلیلی سه بعدی تفاضل محدود از سد و ساختگاه در محیط برنامه قدرتمند FLAC3D 5.0 ساخته شده است. شکل ۶ مدل المان بندی شده سد و ساختگاه را نشان می دهد. رابطه ۱ با کمک زبان برنامه نویسی گنجانده شده در برنامه (FISH)[10] به مدل اعمال شده است به گونه ای که با تغییر شرایط تنشی محیط تحت تاثیر خاکریزی، پارامتر نفوذپذیری هم تغییر می کند. این تحلیل به شیوه تنش موثر و بصورت کوپل مکانیکی - سیال انجام گردید. در این مدل خاکریزی دوران ساخت سد ۱۷۷ متری با ۴۲ لایه افقی در مدت حدود ۴۵ ماه شیوه سازی شده است. با توجه توزیع فضایی پیوسته کمیت فشار حفره ای هسته در هنگام برقراری تعادل هیدرولیکی[11]، مدل تحلیلی به گونه ای با آنالیزهای بازگشتی کالیبره شده است که مقادیر فشار حفره ای محاسبه شده از مدل تحلیلی مطابقت مناسبی هم از نظر کمی و هم کیفی با مقادیر اندازه گیری شده در محل پیزومترهای نصب شده در هسته سد در مقطع حداقل داشته باشد. جدول ۲ این مقادیر را در محل پیزومترهای مقطع حداقل در انتهای ساخت نشان می دهد. انطباق مناسب بین مقادیر اندازه گیری شده و محاسبه شده فشار حفره ای حکایت از دقت مناسب کالیبراسیون مدل تحلیلی سه بعدی دارد. در نهایت صورت کالیبره شده رابطه ۱ به فرم رابطه ۲ استخراج گردید.

$$K_y = \begin{cases} 2 \times 10^{-8} & \sigma_y \leq 150 \text{ kPa} \\ 2 \times 10^{-7} \sigma_y^{-0.479} & \sigma_y \geq 150 \text{ kPa} \end{cases} \quad \frac{K_x}{K_y} = 2.5 \quad (2)$$

در رابطه فوق  $K_x$  و  $K_y$  به ترتیب نفوذپذیری افقی و قائم هسته سد بر حسب سانتی متر بر ثانیه و  $\sigma_y$  تنش موثر قائم بر حسب کیلو پاسکال می باشند.



شکل (۶) مدل المان بندی شده سد و ساختگاه مسجد سلیمان در محیط نرم افزار FLAC3D 5.0



# ۲۰۱۴میم کنگره ملی مددس ساخت و ارزیابی بیوژنکتیو

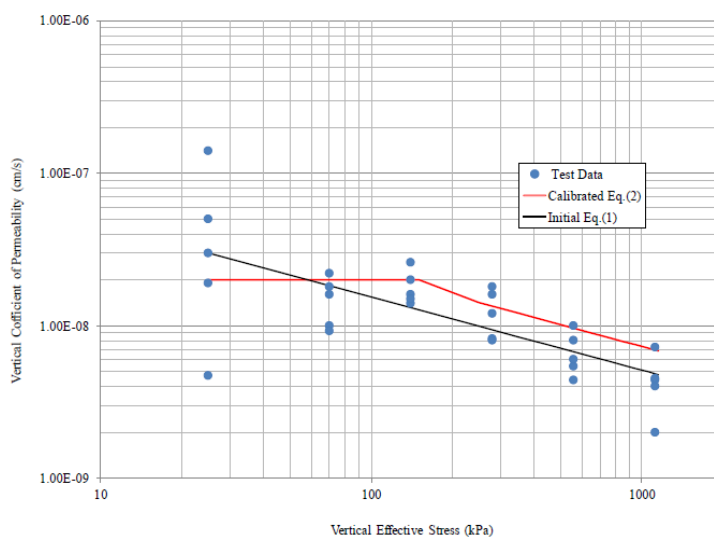
سمنان - ۷ خردادماه ۱۳۹۴

جدول (۲) مقادیر فشار حفره ای محاسبه شده و اندازه گیری شده در مقطع حد اکثر (kPa)

کد ابزار	موقعیت نسبت به محور سد	فاصله تا کف هسته (m)	محاسبه شده	اندازه گیری شده
PP212	On Dam Axis	۲۵	۲۳۵۰	۲۱۲۰
PP213	Down Stream	۲۵	۲۲۵۰	۲۱۰۱
PP222	On Dam Axis	۶۵	۱۴۳۰	۱۴۲۱
PP223	Down Stream	۶۵	۱۴۲۰	۱۴۱۰

## ۶- نتایج و بحث

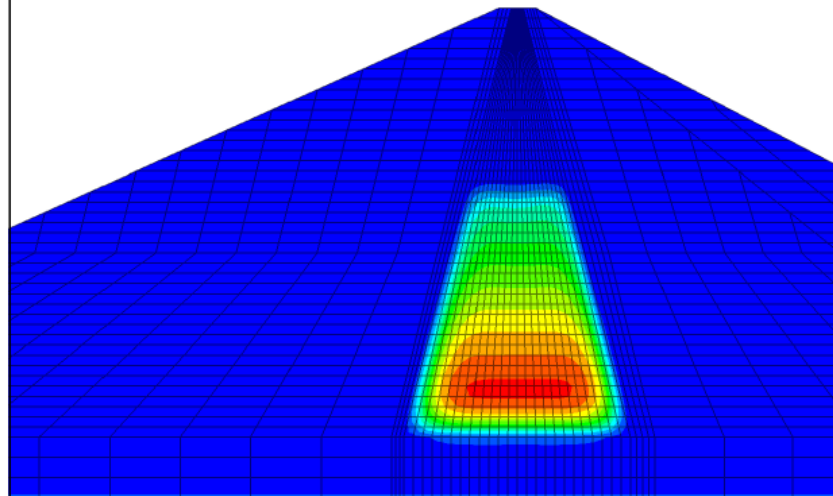
در شکل ۷ موقعیت رابطه ۲ بعنوان تابع نهایی نفوذپذیری قائم هسته سد مسجد سلیمان، رابطه ۱ و داده هایی حاصل از آزمایش - های تحکیم در فضای لگاریتمی نفوذپذیری قائم - تش موثق قائم ترسیم شده است. توزیع کنتوری فشار حفره ای در انتهای ساخت سد مستخرج از مدل تحلیلی کالیبره شده در شکل ۷ نشان داده شده است. در شکل ۷ مقادیر فشار حفره ای بالای هسته که حد اکثر آن در حدود ۲۴۰ متر آب (۱/۳۶ برابر ارتفاع سد) در فاصله ۲۵ متری از کف می باشد دیده می شود. بر اساس رابطه ۲ حد اکثر نفوذپذیری هسته سد مسجد سلیمان  $^{10} \times 2/5$  سانتی متر بر ثانیه است که بیش از ده برابر کمتر از برآورد حد اکثر نفوذپذیری در مرحله طراحی می باشد. از سوی دیگر تحلیل های بازگشتی مدل تحلیلی نشان می دهد که نسبت نفوذپذیری افقی به قائم برای هسته سد مسجد سلیمان  $2/5$  می باشد که حدود ۴ برابر کمتر از مقدار در نظر گرفته شده در مرحله طراحی است. روند کاهشی تابع نفوذپذیری همگام با تحکیم نشان می دهد هر چقدر تحکیم پیش روی با افزایش در مناطقی از هسته که مجاور به فیاتر و زهکش ها است انتظار کاهش نفوذپذیری وجود دارد و روند تحکیم بسیار کند پیش خواهد رفت. لذا تخمین های بالادست از نفوذپذیری افقی و قائم در مرحله طراحی و همچنین منظور نشدن روند کاهشی نفوذپذیری همگام با افزایش تنش موثق، سبب گردیده است برآورد صحیحی از بزرگی، توسعه و تعديل مقادیر فشار حفره ای هسته سد مسجد سلیمان بعمل آورده نشود. شایسته بود که در حین اجرای سد با رقتارنگاری و شناسایی این ناهمخوانی اقدامی موثق و متداول اجرایی نظیر توقف خاکریزی برای افت فشار حفره ای، کاهش رطوبت اجرا و.. صورت می گرفت (شیوه اقداماتی که برای سد ماتوس [12] در دوران ساخت انجام شد).



شکل (۷) تغییرات لگاریتمی نفوذپذیری در مقابل تنش موثق قائم برای مصالح هسته سد مسجد سلیمان



Calculated by: Volumetric Averaging  
 2.4415E+06  
 2.4000E+06  
 2.2000E+06  
 2.0000E+06  
 1.8000E+06  
 1.6000E+06  
 1.4000E+06  
 1.2000E+06  
 1.0000E+06  
 8.0000E+05  
 6.0000E+05  
 4.0000E+05  
 2.0000E+05  
 0.0000E+00



شکل (۸) توزیع فشار حفره ای در مقطع حد اکثر سد مسجد سلیمان (بر حسب پاسکال)

## ۲- نتیجه گیری

در این مطالعه بعد از بازنگری نتایج آزمایشات تحکیم انجام شده برای تعیین کمیت نفوذپذیری هسته سد مسجد سلیمان، تابعی نمایی اولیه‌ای (رابطه ۱) برای کمیت نفوذپذیری هسته از برآش آماری این داده‌ها بدست آمد. در ادامه از طریق ساخت و ارتقاء یک مدل تحلیلی سه بعدی و کالیراسیون آن بر مبنای رکوردهای ثبت شده در پیزومترهای هسته سد این تابع صورت تدقیق شده ای (رابطه ۲) پیدا کرد. نتایج اصلی این مطالعه را در چارچوب علل اصلی ایجاد، توسعه فشار حفره ای قابل توجه و همچنین افت ناچیز آن در هسته سد مسجد سلیمان، به صورت زیر می‌توان جمع بندی نمود:

۱- مقادیر نفوذپذیری قائم و نسبت نفوذپذیری افقی به قائم مبنای طراحی به ترتیب حدود ۱۰ و ۵ برابر بیشتر از مقادیر واقعی می‌باشند لذا یکی از دلایل اصلی بالا بودن ایجاد و توسعه فشار حفره ای در هسته اشباع سد مسجد سلیمان در دوران ساخت پایین بودن مقادیر نفوذپذیری آن از حد طراحی می‌باشد.

۲- روند کاهشی تابع نفوذپذیری همگام با تحکیم هسته سد مسجد سلیمان نشان از این دارد که با پیشروی تحکیم، هسته خصوصاً در نواحی کناری مجاور به زهکش و فیلترها نفوذناپذیرتر می‌شود بنابراین روند آن در دوران بهره‌برداری بسیار کند خواهد بود که این نتیجه افت ناچیز فشار آب حفره ای هسته سد را بعد از گذر ۱۴ سال از انتهای ساخت تایید می‌کند. البته عدم رفقارنگاری مناسب (خصوصاً پیزومترهای هسته) برای شناسایی این ناهمخوانی در دوران خاکریزی و در متعاقب آن انجام نشدن اقدام اجرایی مناسب نظیر کاهش سرعت خاکریزی، کاهش رطوبت اجرا و... از علل دیگر رویداد این عارضه در این سد حیاتی کشور می‌تواند باشد.



## ۸- منابع

- [1] Sherard J.L., Woodward R.J., Gizeski S.T. and Clevenger W.A., 1963, Earth and Earth-Rock Dams, John Wiley Press, USA
- [2] Dunncliff J. M. and Green G. E., 1988, Geotechnical Instrumentation for Monitoring for Field Performance, John Wiley Press, USA
- [3] Icold, 1987, Embankment Dam Instrumentation Manual , USBR, General consideration applicable to instrumentation for earth and rock fill dam
- [4] شرکت مهندسین مشاور آپوی، ۱۳۹۳، رفتارنگاری سد مسجد سلیمان، مطالعات تخصصی رفتار سد مسجد سلیمان، گزارش جلد دوم، سازمان آب و برق خوزستان.
- [5] وفایان محمود، ۱۳۸۵، اطلاعات اجرایی در مورد سدهای خاکی، انتشارات ارکان دانش ، چاپ دوم، صفحه ۲۲۱.
- [6] Tavenas F., Leblond P., Jean P., Leroueil S., 1983, The Permeability of Natural Soft Clays. Part I: Methods of Laboratory Measurement , Canadian Geotechnical Journal, Vol. 20, No. 4, pp 629–644
- [7] Tavenas F., Leblond P., Jean P., Leroueil S. ,1983, The Permeability of Natural Soft Clays. Part II: Permeability Characteristics, Canadian Geotechnical Journal, Vol. 20, No. 4, pp 645–660.
- [8] Lambe W. T., Whitman R.V.,1969 , Soil Mechanics ,John Wiley Press, New York , USA
- [9] Iran Water and Power Resources Development Co.,1996 , Godar-E-land HEPP: A Review on Additional Laboratory Test, Iran
- [10] Itasca Consulting Group. , 2012, Fast Lagrangian Analysis of Continua in 3 Dimensions -FLAC3D, V. 5.0, USA
- [11] Pagano L. Sica S. and Desideri, A.,2006, Representativeness of Measurements in The Canadian Geotechnical Journal, Vol. 43, pp. 87–99 Interpretation of Earth Dam behavior,
- [12] Lorenz W.,1973, The Sealing Element of The Dam of Mauthaus Drinking Water ICOLD,Q42,R.6, pp 81-99 Reservoir”,